Ein und Ausgabe: Farbmetrisches Drucker-Reflektiv-System FRS09_92, L*=09_92 für relativen CIELAB-Buntton $h^* = lab^*h^* = h_{ab}/360 = 0.451$ $u^*_e = g00b$

Daten für jede Farbe: lab^*lch^* und lab^*icu^*

Buntontexte: $u^*_e = g00b$ $u^*_d = t2lc$

Kontrastreduzierungsfaktor: $c^*_R = 1.0$

Daten für Maximalfarbe (Ma): $LAB^*LAB^*_{Ma}$: 48 −49 16 $LAB^*LCH^*_{Ma}$: 48 52 162 $lab^*rgb^*_{Ma}$: 0.0 1.0 0.23 $lab^*oh^*s_{Ma}$: 0.0 1.0 0.23

Dreiecks-Helligkeit t^*

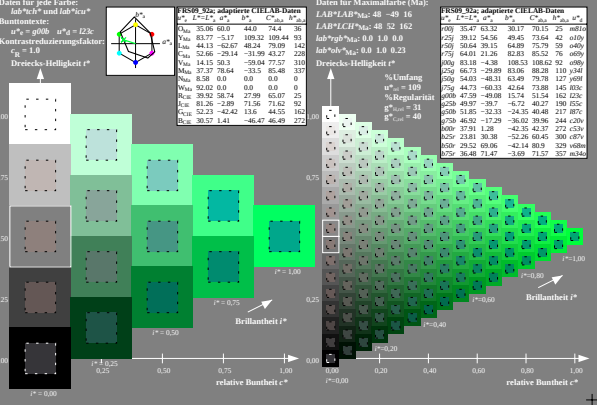

FRS09_92u: adaptierte CIELAB-Daten						
u^*_e	$L^*=L^*_e$	a^*_e	b^*_e	$C^*_{ab,e}$	$h^*_{ab,e}$	u^*_d
O_{Ma}	35.06	60.0	44.0	74.4	36	
Y_{Ma}	83.77	−5.17	109.32	109.44	93	
L_{Ma}	44.13	−62.67	48.24	79.09	142	
C_{Ma}	52.66	−29.14	−31.99	43.27	228	
V_{Ma}	14.15	50.3	−59.04	77.57	310	
M_{Ma}	37.37	78.64	−33.5	85.48	337	
N_{Ma}	8.58	0.0	0.0	0.0	0	
W_{Ma}	92.02	0.0	0.0	0.0	0	
R_{CIE}	39.92	58.74	27.99	65.07	25	
I_{CIE}	81.26	−2.89	71.56	71.62	92	
C_{CIE}	52.23	−42.42	13.6	44.55	162	
B_{CIE}	30.57	1.41	−46.47	46.49	272	

FRS09_92u: adaptierte CIELAB-Daten						
u^*_e	$L^*=L^*_e$	a^*_e	b^*_e	$C^*_{ab,e}$	$h^*_{ab,e}$	u^*_d
r00	35.47	63.32	30.17	70.15	25	m81o
r25	39.12	54.56	49.45	73.64	42	o10y
r50	50.64	39.15	64.89	75.79	59	o40y
r75	64.01	21.26	82.83	85.52	76	o69y
y00	83.18	−4.38	108.53	108.62	92	o98y
y25	66.73	−29.89	83.06	88.28	110	y34l
y50	54.03	−48.31	63.49	79.78	127	y69l
y75	44.73	−60.33	42.64	73.88	145	l03c
g00b	47.59	−49.08	15.74	51.54	162	l23c
g25b	49.97	−39.7	−6.72	40.27	190	l55c
g50b	51.85	−32.33	−24.35	40.48	217	l87c
g75b	46.92	−17.29	−36.02	39.96	244	c20v
b00v	37.91	1.28	−42.35	42.37	272	c53v
b25v	23.81	30.38	−52.26	60.45	300	c87v
b50v	29.52	69.06	−42.14	80.9	329	v68m
b75v	36.48	71.47	−3.69	71.57	357	m34o

Ein und Ausgabe: Farbmetrisches Drucker-Reflektiv-System FRS09_92, L*=09_92 für relativen CIELAB-Buntton $h^* = lab^*h^* = h_{ab}/360 = 0.527$ $u^*_e = g25b$

Daten für jede Farbe: lab^*lch^* und lab^*icu^*

Buntontexte: $u^*_e = g25b$ $u^*_d = l55c$

Kontrastreduzierungsfaktor: $c^*_R = 1.0$

Daten für Maximalfarbe (Ma): $LAB^*LAB^*_{Ma}$: 50 −40 −7 $LAB^*LCH^*_{Ma}$: 50 40 189 $lab^*rgb^*_{Ma}$: 0.0 1.0 0.55 $lab^*oh^*s_{Ma}$: 0.0 1.0 0.55

Dreiecks-Helligkeit t^*

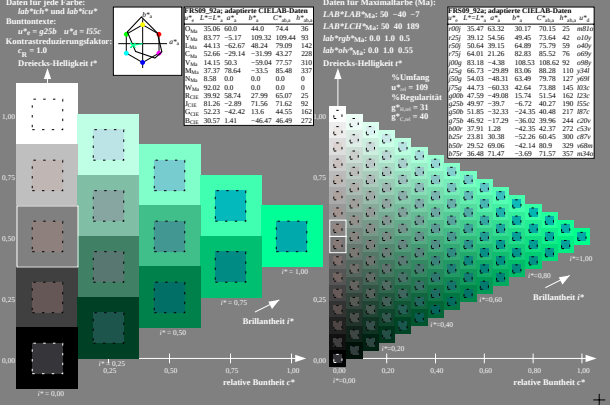

FRS09_92u: adaptierte CIELAB-Daten						
u^*_e	$L^*=L^*_e$	a^*_e	b^*_e	$C^*_{ab,e}$	$h^*_{ab,e}$	u^*_d
O_{Ma}	35.06	60.0	44.0	74.4	36	
Y_{Ma}	83.77	−5.17	109.32	109.44	93	
L_{Ma}	44.13	−62.67	48.24	79.09	142	
C_{Ma}	52.66	−29.14	−31.99	43.27	228	
V_{Ma}	14.15	50.3	−59.04	77.57	310	
M_{Ma}	37.37	78.64	−33.5	85.48	337	
N_{Ma}	8.58	0.0	0.0	0.0	0	
W_{Ma}	92.02	0.0	0.0	0.0	0	
R_{CIE}	39.92	58.74	27.99	65.07	25	
I_{CIE}	81.26	−2.89	71.56	71.62	92	
C_{CIE}	52.23	−42.42	13.6	44.55	162	
B_{CIE}	30.57	1.41	−46.47	46.49	272	

FRS09_92u: adaptierte CIELAB-Daten						
u^*_e	$L^*=L^*_e$	a^*_e	b^*_e	$C^*_{ab,e}$	$h^*_{ab,e}$	u^*_d
r00	35.47	63.32	30.17	70.15	25	m81o
r25	39.12	54.56	49.45	73.64	42	o10y
r50	50.64	39.15	64.89	75.79	59	o40y
r75	64.01	21.26	82.83	85.52	76	o69y
y00	83.18	−4.38	108.53	108.62	92	o98y
y25	66.73	−29.89	83.06	88.28	110	y34l
y50	54.03	−48.31	63.49	79.78	127	y69l
y75	44.73	−60.33	42.64	73.88	145	l03c
g00b	47.59	−49.08	15.74	51.54	162	l23c
g25b	49.97	−39.7	−6.72	40.27	190	l55c
g50b	51.85	−32.33	−24.35	40.48	217	l87c
g75b	46.92	−17.29	−36.02	39.96	244	c20v
b00v	37.91	1.28	−42.35	42.37	272	c53v
b25v	23.81	30.38	−52.26	60.45	300	c87v
b50v	29.52	69.06	−42.14	80.9	329	v68m
b75v	36.48	71.47	−3.69	71.57	357	m34o

Ein und Ausgabe: Farbmetrisches Drucker-Reflektiv-System FRS09_92, L*=09_92 für relativen CIELAB-Buntton $h^* = lab^*h^* = h_{ab}/360 = 0.603$ $u^*_e = g50b$

Daten für jede Farbe: lab^*lch^* und lab^*icu^*

Buntontexte: $u^*_e = g50b$ $u^*_d = l87c$

Kontrastreduzierungsfaktor: $c^*_R = 1.0$

Daten für Maximalfarbe (Ma): $LAB^*LAB^*_{Ma}$: 52 −32 −24 $LAB^*LCH^*_{Ma}$: 52 40 216 $lab^*rgb^*_{Ma}$: 0.0 1.0 1.0 $lab^*oh^*s_{Ma}$: 0.0 1.0 0.87

Dreiecks-Helligkeit t^*

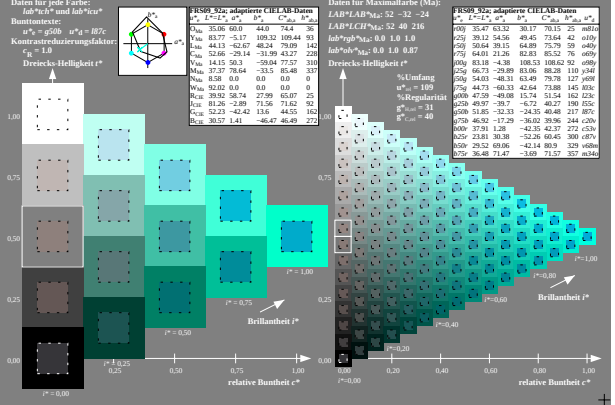

FRS09_92u: adaptierte CIELAB-Daten						
u^*_e	$L^*=L^*_e$	a^*_e	b^*_e	$C^*_{ab,e}$	$h^*_{ab,e}$	u^*_d
O_{Ma}	35.06	60.0	44.0	74.4	36	
Y_{Ma}	83.77	−5.17	109.32	109.44	93	
L_{Ma}	44.13	−62.67	48.24	79.09	142	
C_{Ma}	52.66	−29.14	−31.99	43.27	228	
V_{Ma}	14.15	50.3	−59.04	77.57	310	
M_{Ma}	37.37	78.64	−33.5	85.48	337	
N_{Ma}	8.58	0.0	0.0	0.0	0	
W_{Ma}	92.02	0.0	0.0	0.0	0	
R_{CIE}	39.92	58.74	27.99	65.07	25	
I_{CIE}	81.26	−2.89	71.56	71.62	92	
C_{CIE}	52.23	−42.42	13.6	44.55	162	
B_{CIE}	30.57	1.41	−46.47	46.49	272	

FRS09_92u: adaptierte CIELAB-Daten						
u^*_e	$L^*=L^*_e$	a^*_e	b^*_e	$C^*_{ab,e}$	$h^*_{ab,e}$	u^*_d
r00	35.47	63.32	30.17	70.15	25	m81o
r25	39.12	54.56	49.45	73.64	42	o10y
r50	50.64	39.15	64.89	75.79	59	o40y
r75	64.01	21.26	82.83	85.52	76	o69y
y00	83.18	−4.38	108.53	108.62	92	o98y
y25	66.73	−29.89	83.06	88.28	110	y34l
y50	54.03	−48.31	63.49	79.78	127	y69l
y75	44.73	−60.33	42.64	73.88	145	l03c
g00b	47.59	−49.08	15.74	51.54	162	l23c
g25b	49.97	−39.7	−6.72	40.27	190	l55c
g50b	51.85	−32.33	−24.35	40.48	217	l87c
g75b	46.92	−17.29	−36.02	39.96	244	c20v
b00v	37.91	1.28	−42.35	42.37	272	c53v
b25v	23.81	30.38	−52.26	60.45	300	c87v
b50v	29.52	69.06	−42.14	80.9	329	v68m
b75v	36.48	71.47	−3.69	71.57	357	m34o

Ein und Ausgabe: Farbmetrisches Drucker-Reflektiv-System FRS09_92, L*=09_92 für relativen CIELAB-Buntton $h^* = lab^*h^* = h_{ab}/360 = 0.679$ $u^*_e = g75b$

Daten für jede Farbe: lab^*lch^* und lab^*icu^*

Buntontexte: $u^*_e = g75b$ $u^*_d = c20v$

Kontrastreduzierungsfaktor: $c^*_R = 1.0$

Daten für Maximalfarbe (Ma): $LAB^*LAB^*_{Ma}$: 47 −17 −36 $LAB^*LCH^*_{Ma}$: 47 40 244 $lab^*rgb^*_{Ma}$: 0.0 0.5 1.0 $lab^*oh^*s_{Ma}$: 0.0 0.8 1.0

Dreiecks-Helligkeit t^*

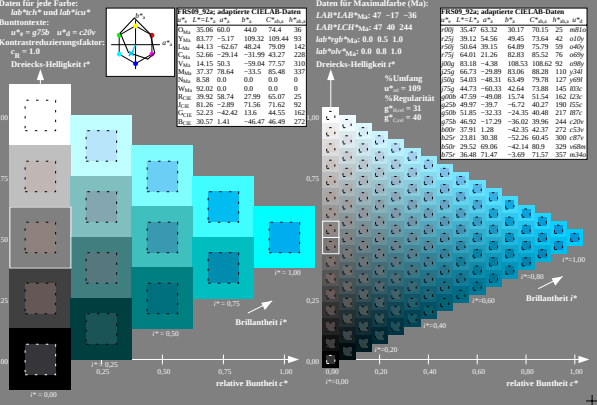

FRS09_92u: adaptierte CIELAB-Daten						
u^*_e	$L^*=L^*_e$	a^*_e	b^*_e	$C^*_{ab,e}$	$h^*_{ab,e}$	u^*_d
O_{Ma}	35.06	60.0	44.0	74.4	36	
Y_{Ma}	83.77	−5.17	109.32	109.44	93	
L_{Ma}	44.13	−62.67	48.24	79.09	142	
C_{Ma}	52.66	−29.14	−31.99	43.27	228	
V_{Ma}	14.15	50.3	−59.04	77.57	310	
M_{Ma}	37.37	78.64	−33.5	85.48	337	
N_{Ma}	8.58	0.0	0.0	0.0	0	
W_{Ma}	92.02	0.0	0.0	0.0	0	
R_{CIE}	39.92	58.74	27.99	65.07	25	
I_{CIE}	81.26	−2.89	71.56	71.62	92	
C_{CIE}	52.23	−42.42	13.6	44.55	162	
B_{CIE}	30.57	1.41	−46.47	46.49	272	

FRS09_92u: adaptierte CIELAB-Daten						
u^*_e	$L^*=L^*_e$	a^*_e	b^*_e	$C^*_{ab,e}$	$h^*_{ab,e}$	u^*_d
r00	35.47	63.32	30.17	70.15	25	m81o
r25	39.12	54.56	49.45	73.64	42	o10y
r50	50.64	39.15	64.89	75.79	59	o40y
r75	64.01	21.26	82.83	85.52	76	o69y
y00	83.18	−4.38	108.53	108.62	92	o98y
y25	66.73	−29.89	83.06	88.28	110	y34l
y50	54.03	−48.31	63.49	79.78	127	y69l
y75	44.73	−60.33	42.64	73.88	145	l03c
g00b	47.59	−49.08	15.74	51.54	162	l23c
g25b	49.97	−39.7	−6.72	40.27	190	l55c
g50b	51.85	−32.33	−24.35	40.48	217	l87c
g75b	46.92	−17.29	−36.02	39.96	244	c20v
b00v	37.91	1.28	−42.35	42.37	272	c53v
b25v	23.81	30.38	−52.26	60.45	300	c87v
b50v	29.52	69.06	−42.14	80.9	329	v68m
b75v	36.48	71.47	−3.69	71.57	357	m34o

Ein und Ausgabe: Farbmetrisches Drucker-Reflektiv-System FRS09_92, L*=09_92 für relativen CIELAB-Buntton $h^* = lab^*h^* = h_{ab}/360 = 0.755$ $u^*_e = b00r$

Daten für jede Farbe: lab^*lch^* und lab^*icu^*

Buntontexte: $u^*_e = b00r$ $u^*_d = c53v$

Kontrastreduzierungsfaktor: $c^*_R = 1.0$

Daten für Maximalfarbe (Ma): $LAB^*LAB^*_{Ma}$: 38 1 −42 $LAB^*LCH^*_{Ma}$: 38 42 271 $lab^*rgb^*_{Ma}$: 0.0 0.0 1.0 $lab^*oh^*s_{Ma}$: 0.0 0.47 1.0

Dreiecks-Helligkeit t^*

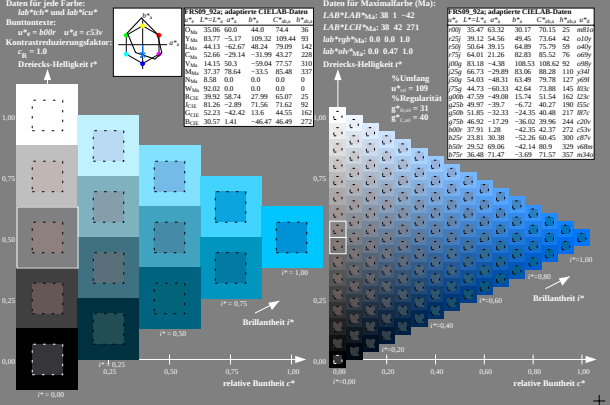

FRS09_92u: adaptierte CIELAB-Daten						
u^*_e	$L^*=L^*_e$	a^*_e	b^*_e	$C^*_{ab,e}$	$h^*_{ab,e}$	u^*_d
O_{Ma}	35.06	60.0	44.0	74.4	36	
Y_{Ma}	83.77	−5.17	109.32	109.44	93	
L_{Ma}	44.13	−62.67	48.24	79.09	142	
C_{Ma}	52.66	−29.14	−31.99	43.27	228	
V_{Ma}	14.15	50.3	−59.04	77.57	310	
M_{Ma}	37.37	78.64	−33.5	85.48	337	
N_{Ma}	8.58	0.0	0.0	0.0	0	
W_{Ma}	92.02	0.0	0.0	0.0	0	
R_{CIE}	39.92	58.74	27.99	65.07	25	
I_{CIE}	81.26	−2.89	71.56	71.62	92	
C_{CIE}	52.23	−42.42	13.6	44.55	162	
B_{CIE}	30.57	1.41	−46.47	46.49	272	

FRS09_92u: adaptierte CIELAB-Daten						
u^*_e	$L^*=L^*_e$	a^*_e	b^*_e	$C^*_{ab,e}$	$h^*_{ab,e}$	u^*_d
r00	35.47	63.32	30.17	70.15	25	m81o
r25	39.12	54.56	49.45	73.64	42	o10y
r50	50.64	39.15	64.89	75.79	59	o40y
r75	64.01	21.26	82.83	85.52	76	o69y
y00	83.18	−4.38	108.53	108.62	92	o98y
y25	66.73	−29.89	83.06	88.28	110	y34l
y50	54.03	−48.31	63.49	79.78	127	y69l
y75	44.73	−60.33	42.64	73.88	145	l03c
g00b	47.59	−49.08	15.74	51.54	162	l23c
g25b	49.97	−39.7	−6.72	40.27	190	l55c
g50b	51.85	−32.33	−24.35	40.48	217	l87c
g75b	46.92	−17.29	−36.02	39.96	244	c20v
b00v	37.91	1.28	−42.35	42.37	272	c53v
b25v	23.81	30.38	−52.26	60.45	300	c87v
b50v	29.52	69.06	−42.14	80.9	329	v68m
b75v	36.48	71.47	−3.69	71.57	357	m34o

Ein und Ausgabe: Farbmetrisches Drucker-Reflektiv-System FRS09_92, L*=09_92 für relativen CIELAB-Buntton $h^* = lab^*h^* = h_{ab}/360 = 0.834$ $u^*_e = b25r$

Daten für jede Farbe: lab^*lch^* und lab^*icu^*

Buntontexte: $u^*_e = b25r$ $u^*_d = c87v$

Kontrastreduzierungsfaktor: $c^*_R = 1.0$

Daten für Maximalfarbe (Ma): $LAB^*LAB^*_{Ma}$: 24 30 −52 $LAB^*LCH^*_{Ma}$: 24 60 300 $lab^*rgb^*_{Ma}$: 0.5 0.0 1.0 $lab^*oh^*s_{Ma}$: 0.5 0.0 1.0

Dreiecks-Helligkeit t^*

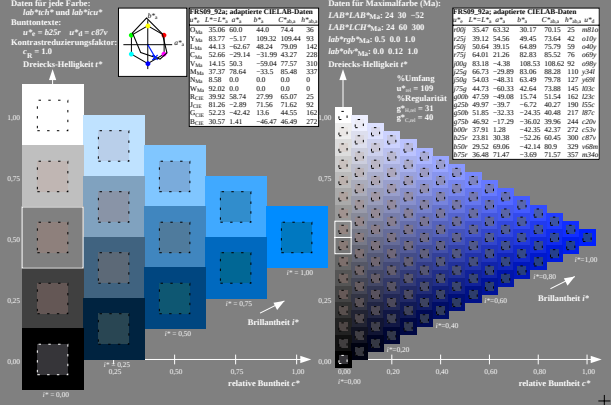

FRS09_92u: adaptierte CIELAB-Daten						
u^*_e	$L^*=L^*_e$	a^*_e	b^*_e	$C^*_{ab,e}$	$h^*_{ab,e}$	u^*_d
O_{Ma}	35.06	60.0	44.0	74.4	36	
Y_{Ma}	83.77	−5.17	109.32	109.44	93	
L_{Ma}	44.13	−62.67	48.24	79.09	142	
C_{Ma}	52.66	−29.14	−31.99	43.27	228	
V_{Ma}	14.15	50.3	−59.04	77.57	310	
M_{Ma}	37.37	78.64	−33.5	85.48	337	
N_{Ma}	8.58	0.0	0.0	0.0	0	
W_{Ma}	92.02	0.0	0.0	0.0	0	
R_{CIE}	39.92	58.74	27.99	65.07	25	
I_{CIE}	81.26	−2.89	71.56	71.62	92	
C_{CIE}	52.23	−42.42	13.6	44.55	162	
B_{CIE}	30.57	1.41	−46.47	46.49	272	

FRS09_92u: adaptierte CIELAB-Daten						
u^*_e	$L^*=L^*_e$	a^*_e	b^*_e	$C^*_{ab,e}$	$h^*_{ab,e}$	u^*_d
r00	35.47	63.32	30.17	70.15	25	m81o
r25	39.12	54.56	49.45	73.64	42	o10y
r50	50.64	39.15	64.89	75.79	59	o40y
r75	64.01	21.26	82.83	85.52	76	o69y
y00	83.18	−4.38	108.53	108.62	92	o98y
y25	66.73	−29.89	83.06	88.28	110	y34l
y50	54.03	−48.31	63.49	79.78	127	y69l
y75	44.73	−60.33	42.64	73.88	145	l03c
g00b	47.59	−49.08	15.74	51.54	162	l23c
g25b	49.97	−39.7	−6.72	40.27	190	l55c
g50b	51.85	−32.33	−24.35	40.48	217	l87c
g75b	46.92	−17.29	−36.02	39.96	244	c20v
b00v	37.91	1.28	−42.35	42.37	272	c53v
b25v	23.81	30.38	−52.26	60.45	300	c87v
b50v	29.52	69.06	−42.14	80.9	329	v68m
b75v	36.48	71.47	−3.69	71.57	357	m34o

Ein und Ausgabe: Farbmetrisches Drucker-Reflektiv-System FRS09_92, L*=09_92 für relativen CIELAB-Buntton $h^* = lab^*h^* = h_{ab}/360 = 0.913$ $u^*_e = b50r$

Daten für jede Farbe: lab^*lch^* und lab^*icu^*

Buntontexte: $u^*_e = b50r$ $u^*_d = v68m$

Kontrastreduzierungsfaktor: $c^*_R = 1.0$

Daten für Maximalfarbe (Ma): $LAB^*LAB^*_{Ma}$: 30 69 −42 $LAB^*LCH^*_{Ma}$: 30 81 328 $lab^*rgb^*_{Ma}$: 0.69 0.0 1.0 $lab^*oh^*s_{Ma}$: 0.69 0.0 1.0

Dreiecks-Helligkeit t^*

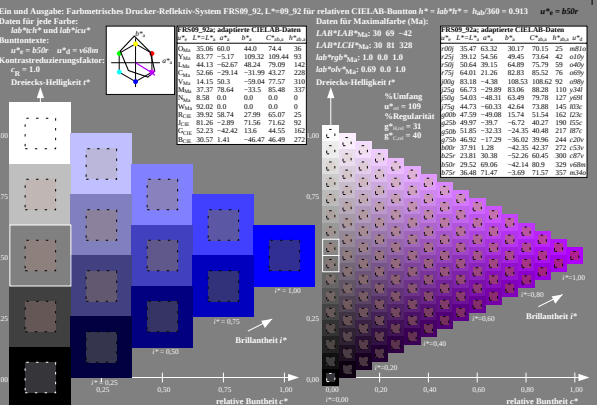

FRS09_92u: adaptierte CIELAB-Daten						
u^*_e	$L^*=L^*_e$	a^*_e	b^*_e	$C^*_{ab,e}$	$h^*_{ab,e}$	u^*_d
O_{Ma}	35.06	60.0	44.0	74.4	36	
Y_{Ma}	83.77	−5.17	109.32	109.44	93	
L_{Ma}	44.13	−62.67	48.24	79.09	142	
C_{Ma}	52.66	−29.14	−31.99	43.27	228	
V_{Ma}	14.15	50.3	−59.04	77.57	310	
M_{Ma}	37.37	78.64	−33.5	85.48	337	
N_{Ma}	8.58	0.0	0.0	0.0	0	
W_{Ma}	92.02	0.0	0.0	0.0	0	
R_{CIE}	39.92	58.74	27.99	65.07	25	
I_{CIE}	81.26	−2.89	71.56	71.62	92	
C_{CIE}	52.23	−42.42	13.6	44.55	162	
B_{CIE}	30.57	1.41	−46.47	46.49	272	

FRS09_92u: adaptierte CIELAB-Daten						
u^*_e	$L^*=L^*_e$	a^*_e	b^*_e	$C^*_{ab,e}$	$h^*_{ab,e}$	u^*_d
r00	35.47	63.32	30.17	70.15	25	m81o
r25	39.12	54.56	49.45	73.64	42	o10y
r50	50.64	39.15	64.89	75.79	59	o40y
r75	64.01	21.26	82.83	85.52	76	o69y
y00	83.18	−4.38	108.53	108.62	92	o98y
y25	66.73	−29.89	83.06	88.28	110	y34l
y50	54.03	−48.31	63.49	79.78	127	y69l
y75	44.73	−60.33	42.64	73.88	145	l03c
g00b	47.59	−49.08	15.74	51.54	162	l23c
g25b	49.97	−39.7	−6.72	40.27	190	l55c
g50b	51.85	−32.33	−24.35	40.48	217	l87c
g75b	46.92	−17.29	−36.02	39.96	244	c20v
b00v	37.91	1.28	−42.35	42.37	272	c53v
b25v	23.81	30.38	−52.26	60.45	300	c87v
b50v	29.52	69.06	−42.14	80.9	329	v68m
b75v	36.48	71.47	−3.69	71.57	357	m34o

Ein und Ausgabe: Farbmetrisches Drucker-Reflektiv-System FRS09_92, L*=09_92 für relativen CIELAB-Buntton $h^* = lab^*h^* = h_{ab}/360 = 0.992$ $u^*_e = b75r$

Daten für jede Farbe: lab^*lch^* und lab^*icu^*

Buntontexte: $u^*_e = b75r$ $u^*_d = m34o$

Kontrastreduzierungsfaktor: $c^*_R = 1.0$

Daten für Maximalfarbe (Ma): $LAB^*LAB^*_{Ma}$: 36 71 −4 $LAB^*LCH^*_{Ma}$: 36 72 357 $lab^*rgb^*_{Ma}$: 1.0 0.0 0.5 $lab^*oh^*s_{Ma}$: 1.0 0.0 0.66

Dreiecks-Helligkeit t^*

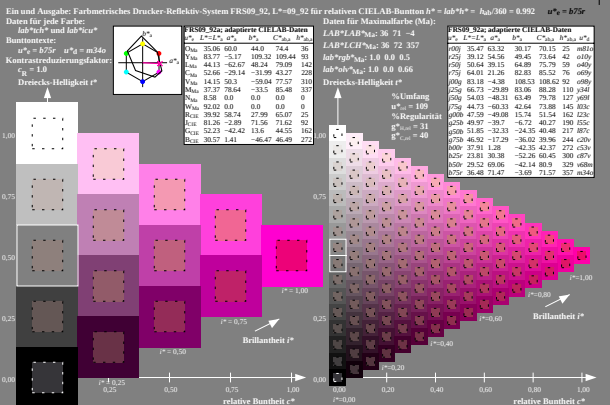

FRS09_92u: adaptierte CIELAB-Daten						
u^*_e	$L^*=L^*_e$	a^*_e	b^*_e	$C^*_{ab,e}$	$h^*_{ab,e}$	u^*_d
O_{Ma}	35.06	60.0	44.0	74.4	36	
Y_{Ma}	83.77	−5.17	109.32	109.44	93	
L_{Ma}	44.13	−62.67	48.24	79.09	142	
C_{Ma}	52.66	−29.14	−31.99	43.27	228	
V_{Ma}	14.15	50.3	−59.04	77.57	310	
M_{Ma}	37.37	78.64	−33.5	85.48	337	
N_{Ma}	8.58	0.0	0.0	0.0	0	
W_{Ma}	92.02	0.0	0.0	0.0	0	
R_{CIE}	39.92	58.74	27.99	65.07	25	
I_{CIE}	81.26	−2.89	71.56	71.62	92	
C_{CIE}	52.23	−42.42	13.6	44.55	162	
B_{CIE}	30.57	1.41	−46.47	46.49	272	
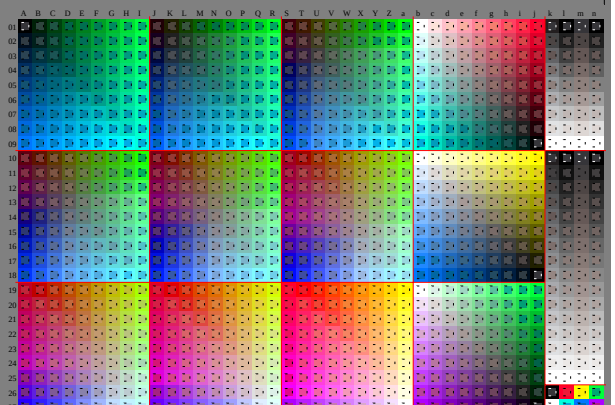
FRS09_92u: adaptierte CIELAB-Daten						
u^*_e	$L^*=L^*_e$	a^*_e	b^*_e	$C^*_{ab,e}$	$h^*_{ab,e}$	u^*_d
r00	35.47	63.32	30.17	70.15	25	m81o
r25	39.12	54.56	49.45	73.64	42	o10y
r50	50.64	39.15	64.89	75.79	59	o40y
r75	64.01	21.26	82.83	85.52	76	o69y
y00	83.18	−4.38	108.53	108.62	92	o98y
y25	66.73	−29.89	83.06	88.28	110	y34l
y50	54.03	−48.31	63.49	79.78	127	y69l
y75	44.73	−60.33	42.64	73.88	145	l03c
g00b	47.59	−49.08	15.74	51.54	162	l23c
g25b	49.97	−39.7	−6.72	40.27	190	l55c
g50b	51.85	−32.33	−24.35	40.48	217	l87c
g75b	46.92	−17.29	−36.02	39.96	244	c20v
b00v	37.91	1.28	−42.35	42.37	272	c53v
b25v	23.81	30.38	−52.26	60.45	300	c87v
b50v	29.52	69.06	−42.14	80.9	329	v68m
b75v	36.48	71.47	−3.69	71.57	357	m34o